

· 论 著 · doi:10.3969/j.issn.1671-8348.2016.07.003

# 他莫昔芬对人胃癌细胞增殖和丝氨酸蛋白酶抑制剂 9 表达的影响\*

陈海霞<sup>1</sup>,周业江<sup>2</sup>,王璐璐<sup>1</sup>,李 华<sup>1</sup>,熊玉霞<sup>1△</sup>

(1. 泸州医学院药学院药理教研室,四川泸州 646000;2. 泸州医学院附属医院普外科,四川泸州 646000)

**[摘要]** 目的 研究他莫昔芬(TAM)对胃癌细胞雌激素受体  $\alpha$ 、 $\beta$ (ER $\alpha$  和 ER $\beta$ )的表达情况及对胃癌细胞增殖和丝氨酸蛋白酶抑制剂 9(PI9)表达的影响。方法 对前期筛选出的 ER $\alpha$  表达阳性胃癌细胞株 MNK45、SGC7901(PI9 表达阳性)和 ER $\beta$  表达阳性胃癌细胞株 BGC823(PI9 表达阴性),采用免疫荧光化学法检测 TAM 对 ER $\alpha$  和 ER $\beta$  表达的影响,CCK8 法检测 TAM 干预后胃癌细胞株的增殖情况,逆转录 PCR 观察 TAM 干预后 PI9 表达的变化。结果 ER $\alpha$  表达于 MNK45 和 SGC7901 细胞核上,ER $\beta$  表达于 BGC823 细胞核上,经 TAM 干预后 ER $\alpha$  和 ER $\beta$  表达均无明显改变;TAM 在 0.1~100.0  $\mu\text{mol/L}$  时可明显抑制 SGC7901、MNK45 的细胞增殖,与阴性对照组比较,差异有统计学意义( $P<0.05$ ),对 BGC823 和 MNK28 的细胞增殖无明显剂量依赖关系;TAM 干预后 SGC7901 的 PI9 mRNA 的相对灰度值为(0.402±0.020),MNK45 的 PI9 mRNA 的相对灰度值为(0.359±0.048),较阴性对照组灰度值均明显降低,差异有统计学意义( $P<0.05$ )。结论 TAM 对 ER $\alpha$  和 PI9 阳性表达细胞的增殖抑制作用强于 PI9 阴性表达细胞,并呈较好的剂量依赖性;TAM 对胃癌的生长抑制作用可能与改善 PI9 介导的免疫耐受有关。

**[关键词]** 胃肿瘤;受体,雌激素;他莫昔芬;丝氨酸蛋白酶抑制剂 9

[中图分类号] R735.2

[文献标识码] A

[文章编号] 1671-8348(2016)07-0873-03

## Effects of Tamoxifen on proliferation and expression of serine proteinase inhibitor 9 in human gastric cancer cells\*

Chen Haixia<sup>1</sup>, Zhou Yeqiang<sup>2</sup>, Wang Lulu<sup>1</sup>, Li Hua<sup>1</sup>, Xiong Yuxia<sup>1△</sup>

(1. Department of Pharmacology, College of Pharmacy, Luzhou Medical College, Luzhou, Sichuan 646000, China;

2. Department of General Surgery, Affiliated Hospital of Luzhou Medical College, Luzhou, Sichuan 646000, China)

**[Abstract]** Objective To observe the expression of estrogen receptors (ER $\alpha$  and ER $\beta$ ) on gastric cancer cells and evaluate the effect of Tamoxifen(TAM) on the cell proliferation and expression of serine proteinase inhibitor 9(PI9) of gastric cancer cells.

**Methods** PI9 positive expression(MNK45,SGC7901)and negative expression (BGC823)of gastric cancer cell lines were from preliminary screened, the expression of ER $\alpha$  and ER $\beta$  detected by immunofluorescence chemical method, the cell proliferation and expression of PI9 were tested by CCK8 assay and reverse transcription-PCR after intervention of TAM. **Results** ER $\alpha$  protein expression was noted in MNK45 and SGC7901,ER $\beta$  was noted in BGC823, but the expression of ER $\alpha$  and ER $\beta$  were not appear to be obvious after the intervention of TAM. Tamoxifen could obviously inhibited cell proliferation of MNK45 and SGC7901 at concentration of 0.1—100.0  $\mu\text{mol/L}$ ,the differences were statistically significant compared with negative control group ( $P<0.05$ ),but showed no dose-dependent to the proliferation of BGC823 and MNK28. After treating with TAM, the expression of PI9 mRNA of SGC7901 (0.402±0.020) and MNK45 (0.359±0.048) were obviously lower than that in the negatwe control group ( $P<0.05$ ).

**Conclusion** Tamoxifen could significantly inhibit the proliferation of PI9 positive expression than PI9 negative expression of gastric cancer cell lines, and showed obviously dose-dependent,its role in inhibiting proliferation might closely related to immune tolerance improved by PI9.

**[Key words]** gastric neoplasms;receptor,estrogen;Tamoxifen;serine proteinase inhibitor 9

胃癌是源自胃黏膜上皮的恶性肿瘤,占我国恶性肿瘤发病率的第 2 位,死亡率的第 3 位,严重威胁人类健康<sup>[1-2]</sup>。本课题前期研究显示雌激素(estradiol)可促进胃癌细胞的增殖,与其能内源性诱导丝氨酸蛋白酶抑制剂 9(serine proteinase inhibitor 9,PI9)mRNA 的表达密切相关,从而造成胃癌的内源性免疫逃逸。雌激素受体(ER)抑制剂他莫昔芬(tamoxifen,TAM),又名三苯氧胺其是否可以通过抑制 PI9 的表达来发挥疗效?目前还未见相关报道。本研究通过观察 TAM 干预后 4 株人胃癌细胞的增殖情况及对 PI9 mRNA 表达的影响,明确雌激素受体抑制剂能否改善 PI9 介导的免疫耐受,研究结果将为改善胃癌的免疫治疗效果提供新的策略。

## 1 材料与方法

### 1.1 材料

TAM(Adamas Reagent 公司),DMEM high glu-

coes 培养液(HyClone 公司),免疫荧光化学试剂主要包括:ER $\beta$  兔抗人多克隆抗体、ER $\alpha$  鼠抗人单克隆抗体(美国 Bio-world 公司),山羊抗兔 IgG 为罗丹明标记、山羊抗小鼠 IgG 为 FITC 标记(中杉金桥);逆转录 PCR(RT-PCR)Kit(美国 Bio-world 公司)。倒置相差显微镜(Olympus CKX31SF),生物安全柜(BSG-4 珠海 L 型),96 孔培养板(美国 Corning 公司),荧光倒置显微镜(S70-Germany),多功能 PCR 仪(TC-412,英国 TECHNE),DYY-8C 型电泳仪(北京市六一仪器厂),荧光凝胶成像系统(美国 Bio-Rad 公司)。

## 1.2 方法

### 1.2.1 细胞培养

人胃癌细胞 MNK45、SGC7901、MNK28 和 BGC823 购自北京北纳创联生物技术研究院,于 5% CO<sub>2</sub> 浓度、37 °C 条件下用含 10% 胎牛血清、1% 双抗贮存液的

\* 基金项目:国家自然科学基金资助项目(30672058);泸州医学院科研基金资助项目(2009246)。作者简介:陈海霞(1982—),讲师,硕士,主要从事抗炎免疫和肿瘤药理学研究。△ 通讯作者,E-mail:xyx\_cell@163.com。

DMEM 培养液培养。

**1.2.2 免疫荧光化学法检测 ER $\alpha$  和 ER $\beta$  的表达** 取对数生长期的细胞经 0.25% 胰酶消化, 调整细胞浓度为  $1.0 \times 10^5 / mL$ , 均匀接种到内铺有盖玻片的培养皿中。待细胞贴壁生长接近单层时, 用 PBS 漂洗 3 次, 每次 5 min, 预冷的 4% 多聚甲醛固定 20 min, 甲醇-20℃细胞通透 15 min, 10% 胎牛血清封闭 30 min。加入鼠抗人 ER $\alpha$ (1:200 稀释浓度)和兔抗人 ER $\beta$ (1:50 稀释浓度)各 50  $\mu L$ , 阴性对照用 10% 胎牛血清代替一抗。4℃孵育过夜后, 加入羊抗小鼠 IgG(FITC 标记)和羊抗兔 IgG(罗丹明标记)二抗稀释液, 37℃避光孵育 30 min 后洗涤, 晾干、封片拍照观察。以明确的荧光为阳性, 仅发浅荧光且与周围背景区别不明显则判为阴性或弱阳性(FITC 标记显绿色, 罗丹明标记显红色)。

**1.2.3 CCK8 法检测细胞增殖抑制率** 取对数生长期细胞 MNK45、SGC7901、MNK28 和 BGC823, 胰酶消化后调整细胞密度为  $2 \times 10^5 / mL$ , 接种于 96 孔板, 90  $\mu L /孔$ , 置培养箱中培养 24 h。根据前期实验结果, TAM 给药组加入 10.00  $\mu mol /L$  的雌激素后, 再将不同浓度的 TAM 溶液(100.00、10.00、1.00、0.10、0.01  $\mu mol /L$ )加入 96 孔板, 10  $\mu L /孔$ , 设阴性对照组加 DMEM 10  $\mu L$ , 空白对照组加无血清 DMEM 100  $\mu L$ , 溶媒对照组加 1% 甲醇 10  $\mu L$ , 每组 3 复孔。37℃继续培养 24 h, 每孔加 CCK8 溶液 10.00  $\mu L$ , 4 h 后, 用酶标仪测定各孔光密度(OD)值(450 nm 处)。实验重复 3 次, 计算细胞增殖抑制率(%) =  $(OD_{\text{对照组}} - OD_{\text{给药组}}) / (OD_{\text{对照组}} + OD_{\text{空白组}}) \times 100\%$ 。

**1.2.4 RT-PCR 检测 PI9 基因表达水平** TAM 给药组先在各细胞中加入雌激素 10.00  $\mu mol /L$ , 再加入 TAM 10.00  $\mu mol /L$  作用 24 h 后, 按照 RNAsimple Total RNA Kit 说明提取细胞总 RNA, 紫外分光光度仪测定核酸纯度  $OD_{260/280}$  在 1.0~2.0。严格根据 GenBank 数据库人 PI9 基因序列设计 PCR 引物(表 1), 参照 RT-PCR Kit 说明逆转录合成 cDNA, 以 PI9 的引物进行 PCR 扩增。PCR 反应条件为 94℃ 预变性 5 min, 94℃ 30 s, 57℃ 30 s, 72℃ 1 min, 总循环 35 个, 72℃ 延伸 5 min。PCR 产物取 5  $\mu L$  于 2% 琼脂糖凝胶电泳, 最后用 Bio-Rad 凝胶成像采集系统照相并进行分析。

**1.3 统计学处理** 采用 SPSS13.0 软件进行统计分析, 计量资料数据均以  $\bar{x} \pm s$  表示, 组间数据比较采用单因素方差分析, 以  $P < 0.05$  为差异有统计学意义。

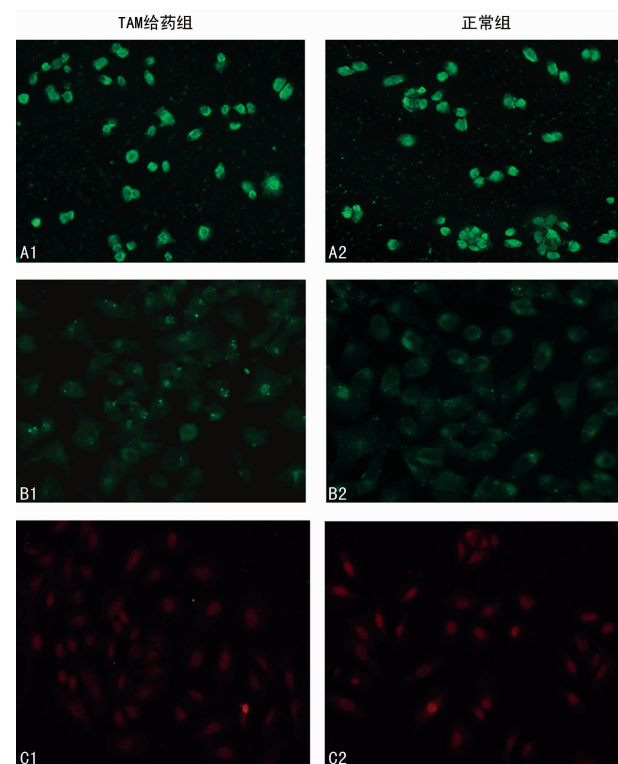
## 2 结 果

**2.1 胃癌细胞 ER $\alpha$  和 ER $\beta$  的表达** MNK45 的 ER $\alpha$  位于细

胞核呈清晰的绿色颗粒, 为强阳性表达; SGC7901 的 ER $\alpha$  为弱阳性表达; 而 ER $\beta$  仅在 BGC823 细胞核上显淡红色颗粒, 为弱阳性表达。经 10.00  $\mu mol /L$  浓度的 TAM 作用后 ER $\alpha$  和 ER $\beta$  表达未见明显改变, 结果表明 TAM 对雌激素受体的表达无影响, 见图 1。

表 1 GAPDH 和 PI9 引物序列

基因	引物序列	产物大小(bp)
GAPDH	上游: 5'-ACC ACA GTC CAT GCC ATC AC-3' 下游: 5'-TCC ACC ACC CTG TTG CTG TA-3'	450
PI9	上游: 5'-TTC ATC GGG CTT TCC AGT-3' 下游: 5'-TTT GAG ACC CAG GTG TTG-3'	217



A1: MNK45 ER $\alpha$ ; B1: SGC7901 ER $\alpha$ ; C1: BGC823 ER $\beta$ . A2: MNK45 ER $\alpha$ ; B2: SGC7901 ER $\alpha$ ; C2: BGC823 ER $\beta$ .

图 1 MNK45、SGC7901 及 BGC823 细胞中 ER $\alpha$ 、ER $\beta$  表达的检测(IF×400)

表 2 TAM 对胃癌细胞增殖活性的影响( $\bar{x} \pm s, n=9$ )

组别	MNK45	SGC7901	BGC823	MNK28
阴性对照组	$0.656 \pm 0.023$	$0.633 \pm 0.024$	$0.510 \pm 0.034$	$0.614 \pm 0.022$
TAM 给药组( $\mu mol /L$ )				
100.00	$0.098 \pm 0.036^a$	$0.210 \pm 0.017^a$	$0.367 \pm 0.025^a$	$0.430 \pm 0.020^a$
10.00	$0.221 \pm 0.025^a$	$0.319 \pm 0.019^a$	$0.470 \pm 0.019^a$	$0.519 \pm 0.020^a$
1.00	$0.404 \pm 0.021^a$	$0.426 \pm 0.022^a$	$0.484 \pm 0.017^a$	$0.586 \pm 0.014$
0.10	$0.534 \pm 0.023^a$	$0.558 \pm 0.030^a$	$0.492 \pm 0.013$	$0.596 \pm 0.013$
0.01	$0.632 \pm 0.018$	$0.614 \pm 0.015$	$0.502 \pm 0.018$	$0.603 \pm 0.015$

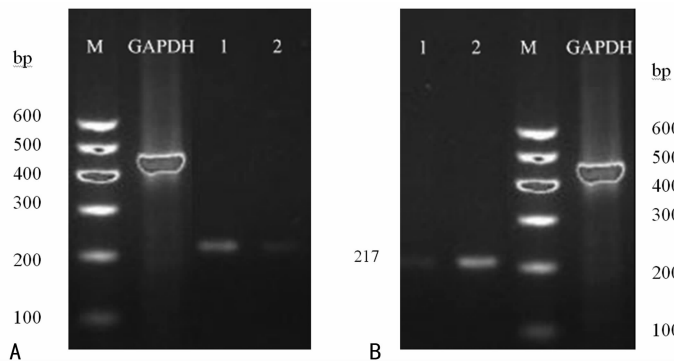
<sup>a</sup>:  $P < 0.05$ , 与阴性对照组比较。

**2.2 TAM 对胃癌细胞增殖活性的影响** 检测结果显示, MNK45 和 SGC7901 在 0.10~100.00  $\mu mol /L$ , 随药物浓度增

高 OD 值逐渐降低, 与阴性对照组比较差异均有统计学意义( $P < 0.05$ ), 见表 2。TAM 作用 MNK45、SGC7901 胃癌细胞

24 h 后,表现出不同程度的细胞增殖抑制作用,且抑制作用随药物浓度的增加而增强,呈剂量依赖性,在浓度达到 100.00  $\mu\text{mol/L}$  时存活率明显下降,抑制率分别达(93.92±3.77)%、(82.17±0.79)%;不同浓度的 TAM 对 BGC823 和 MNK28 细胞生长抑制无明显剂量依赖关系,在 100.00  $\mu\text{mol/L}$  时对 MNK28 产生最大抑制效应,达(31.78±7.38)%,见图 2。

**2.3 TAM 对胃癌细胞 PI9 mRNA 表达的影响** 经 TAM 药物处理 24 h 后,MNK45 和 SGC7901 细胞 PI9 mRNA 的相对灰度值分别为(0.359±0.048)、(0.402±0.020),较对照组 PI9 mRNA 的相对灰度值分别为(0.540±0.065)、(0.545±0.038)明显降低,差异有统计学意义( $P<0.001$ );MNK45、SGC7901 细胞的 GAPDH 及 PI9 电泳结果与预计扩增产物的



A: MNK45 细胞 PI9 mRNA 电泳条带图;1:阴性对照组;2:TAM 给药组。B: SGC7901 细胞 PI9 mRNA 电泳条带图;1:TAM 给药组;2:阴性对照组。C:PI9 mRNA 灰度相对值柱状图。

图 3 TAM 对和胃癌细胞 PI9 mRNA 表达的影响

### 3 讨 论

胃癌症状不明显,早期诊断困难,患者临床治疗多属晚期,预后较差,与日韩等国相比,我国胃癌还具有发病率和病死率高等特点<sup>[2]</sup>。目前多数研究<sup>[3-4]</sup>报道 TAM 治疗 ER 阳性消化道肿瘤的疗效佳,但对 ER 阴性肿瘤不明显,故 TAM 作为胃癌的临床辅助化学治疗存在一定争议<sup>[5]</sup>,这与胃癌组织中 ER 的表达不具普遍性有关系。Xie 等<sup>[6]</sup>的研究中指出 TAM 可通过抑制蛋白激酶 C 信号通路,加速肿瘤相关蛋白的降解过程,促进 ER 阳性胰腺癌细胞凋亡。白文坤等<sup>[7]</sup>研究表明,不同浓度的 TAM 可通过影响人肝癌 HepG2 细胞 ER 的表达抑制肝癌细胞增殖,并具有时间-浓度依赖。TAM 是最常用的非甾体类雌激素拮抗剂,通过竞争性抑制雌激素与 ER 结合发挥生物学效应<sup>[8-9]</sup>,有研究还表明可抑制雌激素诱导的乳腺癌细胞中 PI9 的合成<sup>[10]</sup>,是 ER 阳性原发性乳腺癌治疗的一线药物<sup>[11]</sup>。

目前有关 PI9 在肿瘤治疗的研究已成为热点,但其表达生物学意义及在肿瘤免疫治疗方面尚不明了。本课题前期研究结果提示雌激素与胃癌细胞上 ER 结合可直接诱导 PI9 基因转录,对颗粒酶 B(granzyme B,GrB)诱导的细胞凋亡有明显的抑制作用,而介导胃癌的内源性免疫逃逸<sup>[12-13]</sup>。GrB 是丝氨酸蛋白酶家族的重要成员,能迅速引起靶细胞 DNA 断裂,导致细胞凋亡<sup>[14]</sup>。最近研究发现,PI9 在肿瘤细胞发生发展中占有重要作用,它对 PFP/GrB 路径和 Fas/Fas-L 路径介导的细胞凋亡均有抑制作用<sup>[15]</sup>。Fas 是细胞膜上肿瘤坏死因子受体,和 Fas-L 结合可介导细胞凋亡,故 Fas/Fas-L 表达异常对肿瘤的生长、免疫逃逸有着很大影响<sup>[16]</sup>。在肿瘤形成的过程中,PI9 合成增加可能导致 Fas 表达下调或缺失,肿瘤细胞从而获得抵抗 Fas 介导凋亡的免疫性逃逸机会。前期研究亦发现 PI9 在胃癌中的表达不是全阳性,在癌组织中 PI9 阳性率约为

大小一致,分别在 450、217 bp 处出现阳性条带,见图 3。

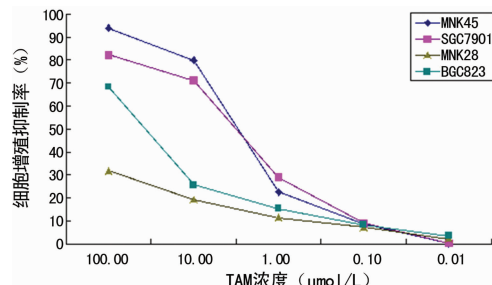
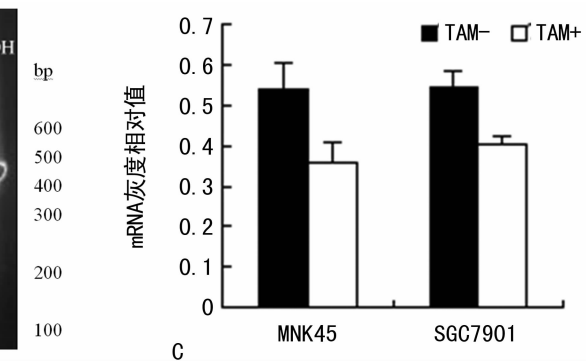


图 2 TAM 对 4 株胃癌细胞的浓度抑制率曲线



41.0%,在癌细胞株中为 50.0%。因此,本课题以前期研究筛选出的 ER $\alpha$  表达阳性胃癌细胞株 MNK45、SGC7901(PI9 阳性)和 ER $\beta$  表达弱阳性胃癌细胞株 BGC823(PI9 阴性)作为研究对象,探讨 TAM 作用于胃癌细胞与 PI9 表达的关系。若能根据胃癌患者 PI9 表达的检测结果,制订个体化的 TAM 辅助化学治疗方案,可能会收到更好的疗效。

本研究结果显示不同浓度的 TAM 作用 MNK45、SGC7901 胃癌细胞 24 h 后,表现出明显的细胞增殖抑制作用,且呈剂量依赖性;TAM 可减弱胃癌细胞 MNK45、SGC7901 的 PI9 基因表达水平,较阴性对照组,差异有统计学意义( $P<0.05$ ),说明 TAM 具有明显的 PI9 抑制效应,在一定程度上改善了 PI9 介导的免疫耐受。这一结果提示以 PI9 为靶标的免疫治疗将成为胃癌治疗的新方向,为临幊上治疗消化道肿瘤提供了一定的理论基础,为雌激素受体抑制剂的临幊应用提供有力的证据。

### 参考文献

- Zhang C, Gao GR, Lv CG, et al. Protease-activated receptor-2 induces expression of vascular endothelial growth factor and cyclooxygenase-2 via the mitogen-activated protein kinase pathway in gastric cancer cells[J]. Oncol Rep, 2012, 28(5): 1917-1923.
- 季加孚. 我国胃癌防治研究三十年回顾[J]. 中国肿瘤临幊, 2013, 40(22): 1345-1351.
- Kim MJ, Cho SI, Lee KO, et al. Effects of 17 $\beta$ -estradiol and estrogen receptor antagonists on the proliferation of gastric cancer cell lines[J]. J Gastric Cancer, 2013, 13(3): 172-178.

(下转第 879 页)

- Immunol, 2012, 33(3):136-143.
- [4] Majore I, Moretti P, Stahl F, et al. Growth and differentiation properties of mesenchymal stromal cell populations derived from whole human umbilical cord [J]. Stem Cell Reviews and Reports, 2011, 7(1):17-31.
- [5] Schipani E, Kronenberg HM. Adult mesenchymal stem cells--Stem Book [J]. In StemBook (Cambridge), 2008, 5(6):2124-2128.
- [6] 谢文友, 王廷华. 骨髓间充质干细胞移植治疗脑外伤的研究进展 [J]. 重庆医学, 2013, 42(11):1296-1299.
- [7] 李晓玲, 朱旅云, 宋光耀, 等. 脐带间充质干细胞移植治疗糖尿病下肢血管病变 [J]. 中国组织工程研究, 2014, 18(23):3670-3675.
- [8] Christodoulou I, Kolisis FN, Papaevangelou D, et al. Comparative evaluation of human mesenchymal stem cells of fetal (wharton's jelly) and adult (adipose tissue) origin during prolonged in vitro expansion: considerations for cyotherapy [J]. Stem Cells International, 2013, 2013:246134.
- [9] Seshareddy K, Troyer D, Weiss ML. Method to isolate mesenchymal-like cells from Wharton's jelly of umbilical cord [J]. Methods Cell Biol, 2008, 86:101-119.
- [10] Salehinejad P, Alitheen NB, Ali AM, et al. Comparison of different methods for the isolation of mesenchymal stem cells from human umbilical cord Wharton's jelly [J]. In Vitro Cell Dev Biol Anim, 2012, 48(2):75-83.
- [11] Han YF, Tao R, Sun TJ, et al. Optimization of human umbilical cord mesenchymal stem cell isolation and culture methods [J]. Cytotechnology, 2013, 65(5):819-827.
- [12] Yoon JH, Roh EY, Shin S, et al. Comparison of explant-
- derived and enzymatic digestion-derived MSCs and the growth factors from wharton's jelly [J]. Biomed Res Int, 2013, 2013:428726.
- [13] Iftimia-Mander A, Houd P, Dainty R, et al. Mesenchymal stem cell isolation from human umbilical cord tissue: understanding and minimizing variability in cell yield for process optimization [J]. Biopreserv Biobank, 2013, 11(5):291-298.
- [14] Dominici M, Le Blanc K, Mueller I, et al. Minimal criteria for defining multipotent mesenchymal stromal cells. The international society for cellular therapy position statement [J]. Cytotherapy, 2006, 8(4):315-317.
- [15] Venugopal P, Balasubramanian S, Sen MA, et al. Characterization, and gene expression analysis of wharton's jelly-derived mesenchymal stem cells under xeno-free culture conditions [J]. Stem Cells Cloning, 2011, 21(4):39-50.
- [16] Hendijani F, Sadeghi-Aliabadi H, Javanmard SH. Comparison of human mesenchymal stem cells isolated by explant culture method from entire umbilical cord and Wharton's jelly matrix [J]. Cell Tissue Bank, 2014, 15(4):555-565.
- [17] Galderisi U, Giordano A. The gap between the physiological and therapeutic roles of mesenchymal stem cells [J]. Med Res Rev, 2014, 34(5):1100-1126.
- [18] Otte A, Bucan V, Reimers K, et al. Mesenchymal stem cells maintain long-term in vitro stemness during explant culture [J]. Tissue Eng Part C Methods, 2013, 19(12):937-948.

(收稿日期:2015-09-08 修回日期:2015-11-10)

(上接第 875 页)

- [4] Kretzer NM, Cherian MT, Mao CJ, et al. A noncompetitive small molecule inhibitor of estrogen-regulated gene expression and breast cancer cell growth that enhances proteasome-dependent degradation of estrogen receptor alpha [J]. J Biol Chem, 2010, 285(53):41863-41873.
- [5] Chen S, Liu H, Li J, et al. Risk of gastric and colorectal cancer after tamoxifen use for breast cancer: a systematic review and meta-analysis [J]. J Clin Gastroenterol, 2014, [Epub ahead of print].
- [6] Xie X, Wu MY, Shou LM, et al. Tamoxifen enhances the anticancer effect of cantharidin and norcantharidin in pancreatic cancer cell lines through inhibition of the protein kinase C signaling pathway [J]. Oncol Lett, 2015, 9(2):837-844.
- [7] 白文坤, 王文奇, 时昌文, 等. 他莫昔芬对人肝癌细胞增殖及 ER 表达影响的研究 [J]. 中国现代普通外科进展, 2008, 11(5):386-388.
- [8] Chandanosa E, Lindblada M, Rubiob CA, et al. Tamoxifen exposure in relation to gastric adenocarcinoma development [J]. Eur J Cancer, 2008, 44(7):1007-1014.
- [9] Salami S, Karami-Tehrani F. Biochemical studies of apoptosis induced by tamoxifen in estrogen receptor positive and negative breast cancer cell lines [J]. Clin Biochem,
- 2003, 36(4):247-253.
- [10] Jiang X, Patterson NM, Ling Y, et al. Low concentrations of the soy phytoestrogen genistein induce proteinase inhibitor 9 and block killing of breast cancer cells by immune cells [J]. Endocrinology, 2008, 149(11):5366-5373.
- [11] Zembutsu H. Pharmacogenomics toward personalized tamoxifen therapy for breast cancer [J]. Pharmacogenomics, 2015, 16(3):287-296.
- [12] 熊玉霞, 周业江. PI9 和 GrB 在胃癌细胞表达的生物学意义 [C]. 中国生理学会心血管生理学术研讨会论文集, 2011:106-107.
- [13] 雷晓晔, 周业江. 丝氨酸蛋白酶抑制剂 PI9 的研究进展 [J]. 国际外科学杂志, 2010, 37(6):404-407.
- [14] 李一叶, 卢圣栋. 颗粒酶 B 抑制剂的研究进展 [J]. 国际免疫学杂志, 2008, 30(3):197-200.
- [15] Cunningham TD, Jiang X, Shapiro DJ. Expression of high levels of human proteinase inhibitor 9 blocks both perforin/granzyme and Fas/Fas ligand-mediated cytotoxicity [J]. Cell Immunol, 2007, 245(1):32-41.
- [16] 李姝君, 杨志雄, 田鲜艳, 等. Survivin 在肺癌中表达意义及其与 Fas/FasL 表达的关系 [J]. 中国医药导报, 2011, 8(20):17-19.

(收稿日期:2015-09-08 修回日期:2015-11-26)